

Análise de Dados Composicionais Via Árvores de Regressão

Ana Beatriz Tozzo Martins - PPGMNE/UFPR-DES/UEM

Cesar Augusto Taconeli - DEST/UFPR

Paulo Justiniano Ribeiro Junior - LEG/UFPR

Antônio Carlos Andrade Gonçalves - DAG/UEM.

4 de fevereiro de 2009

Roteiro de Apresentação

1. Introdução
2. Dados Composicionais
3. CART
4. Metodologia
5. Resultados
6. Conclusão

Dados composicionais:

- Ciências da Terra: dados expressos como frações ou porcentagens.

Aitchison (1986).

- Exemplos:
 - textura de solos;
 - composição química de uma rocha;
 - estruturas de dados resultantes de algoritmos de classificação.

Walvoort, D. J. J. e Gruijter, J.J. (2001).

Introdução

- **Dados Composicionais:** Aitchison (1986);
- **Análise Geoestatística de Dados Composicionais:** Pawlowsky-Glahn e Olea (2004);
- **Inferência Bayesiana de Dados Composicionais Sem Efeito Espacial:** Obage (2007);
- **Inferência Bayesiana Espacial:** Tjelmeland e Lund (2003);

CART -Classification and Regression Trees:

- Modelagem não paramétrica de uma variável resposta categorizada (classificação) ou numérica (regressão) com base em um conjunto de covariáveis e interações entre as mesmas;

Breiman et al. (1984).

Introdução

- **Árvores de Classificação e Regressão - CART:** Breiman et al. (1984);
- **CART para Análise de Dados Multivariados:** Segal (1992), Zhang (1998), De'Ath (2002) e Lee (2005), Taconeli (2008).

- Modelar dados composicionais via CART
 - extensão da proposta apresentada em Taconeli (2008);
 - a distância de Aitchison, no lugar dos coeficientes de dissimilaridades.

Dados Composicionais

- Butler e Glasbey (2008): Registram informação sobre frequências relativas associadas a diferentes componentes de um sistema.
- Aitchison (1986):
 - a. Vetores cujos elementos são proporções de algum todo.
 - b. **Composição:** Vetor $\underline{Y} = (Y_1, Y_2, \dots, Y_B)'$ satisfazendo:
 - $Y_1 \geq 0, \dots, Y_B \geq 0$;
 - $Y_1 + Y_2 + \dots + Y_B = 1$.
 - c. **Espaço Amostral:**
 $\mathbb{S}^B = \{\underline{Y} \in \mathbb{R}^B; Y_i > 0, i = 1, \dots, B; \underline{j}'\underline{Y} = 1\}$

Dados Composicionais

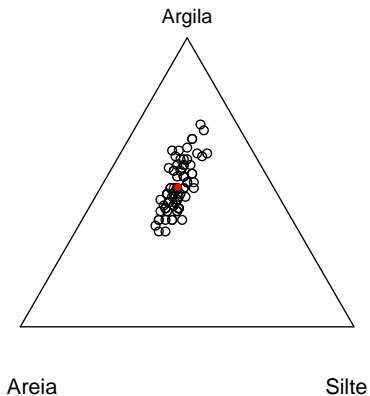


Figura: Diagrama ternário das porcentagens de areia, silte e argila.

Dados Composicionais

Base: Vetor $\underline{W}(\underline{x})$, $\underline{x} \in \Omega \subset \mathbb{R}^n$ com componentes medidos na mesma escala e positivos.

Espaço Amostral: $\mathbb{R}_+^B = \{\underline{W}(\underline{x}) \in \mathbb{R}^B; W_i(\underline{x}) > 0, i = 1, \dots, B\}$

Operador fechamento: Base \Rightarrow Composição

$$\begin{aligned} \mathcal{C} : \quad \mathbb{R}_+^B &\longrightarrow \mathbb{S}^B \\ \underline{W}(\underline{x}) &\longrightarrow \mathcal{C}[\underline{W}(\underline{x})] = \frac{\underline{W}(\underline{x})}{\underline{j}'\underline{W}(\underline{x})}, \quad \underline{j}' \text{ vetor de } 1^{\text{'s}}. \end{aligned}$$

Dados Composicionais

Aitchison (1986), Aitchison e Egozcue (2005), Tolosana-Delgado et al. (2005):

Operações que definem uma estrutura de espaço vetorial de dimensão $B - 1$ no simplex.

- 1. **Perturbação** (\oplus) : operação comutativa;
- 2. **Potência** (\odot) : produto externo.

Dados Composicionais

Perturbação: Multiplicação de composições componente a componente e divisão de cada componente pela soma de todos.

$$\begin{aligned}\underline{Y}_1 \oplus \underline{Y}_2 &= (Y_{11}, Y_{12}, \dots, Y_{1B}) \oplus (Y_{21}, Y_{22}, \dots, Y_{2B}) \\ &= \mathcal{C}(Y_{11} Y_{21}, Y_{12} Y_{22}, \dots, Y_{1B} Y_{2B}).\end{aligned}$$

Dados Composicionais

- **Potência:** análogo à multiplicação por um escalar no espaço real.

$$\alpha \odot (Y_{11}, Y_{12}, \dots, Y_{1B}) = \mathcal{C}(Y_{11}^\alpha, Y_{12}^\alpha, \dots, Y_{1B}^\alpha).$$

- Vetor de **diferenças** composicionais:

$$\underline{Y}_1 \ominus \underline{Y}_2 = \underline{Y}_1 \oplus (-1 \odot \underline{Y}_2).$$

Dados Composicionais

- **Centro:**

$$\text{cen}(\underline{Y}) = \frac{1}{g_s} (g(Y_1) \quad g(Y_2) \quad \dots \quad g(Y_B))'$$

- $g(Y_i)$ - média geométrica do i -ésimo componente
- $g_s = g(Y_1) + g(Y_2) + \dots + g(Y_B)$.

Dados Composicionais

Efeito de **correlação espúria** (Pawlowsky e Olea, 2004):

- Covariâncias sujeitas à controles não estocásticos



interpretação errônea da estrutura de covariância espacial;

- Singularidade da matriz de covariância de uma composição.

Dados Composicionais

- **Graf (2006):** Soma constante \Rightarrow correlação negativa entre os componentes.
- **Aitchison (1986):**
 - Propõe transformação que generaliza a transformação logística $\ln \frac{Y}{1 - Y}$ para um vetor composicional de 2 partes;
 - Magnitudes relativas ou razões \Rightarrow tratabilidade e interpretação estatística.
- **Transformações logísticas:** Aitchison (1982), Aitchison et al. (2000), Odeh et al. (2003).

Dados Composicionais

Transformação razão log-aditiva (ALR):

$$\text{ALR: } \mathbb{S}^B \longrightarrow \mathbb{R}^{B-1}$$

$$\underline{Y}(\underline{x}) \longrightarrow \text{ALR}[\underline{Y}(\underline{x})] = \left(\ln \frac{Y_1(\underline{x})}{Y_B(\underline{x})}, \dots, \ln \frac{Y_{B-1}(\underline{x})}{Y_B(\underline{x})} \right)'$$

Pawlowsky et al. (1995), Pawlowsky e Olea (2004).

Dados Composicionais

- **Produto interno:**

$$\langle \underline{Y}_1, \underline{Y}_2 \rangle = \sum_{i=1}^B \ln \left(\frac{Y_{1i}}{g(\underline{Y}_1)} \right) \ln \left(\frac{Y_{2i}}{g(\underline{Y}_2)} \right).$$

- **Distância de Aitchison:**

$$d(\underline{Y}_1, \underline{Y}_2) = \sqrt{\sum_{i=1}^B \left(\ln \left(\frac{Y_{1i}}{g(\underline{Y}_1)} \right) - \ln \left(\frac{Y_{2i}}{g(\underline{Y}_2)} \right) \right)^2}$$

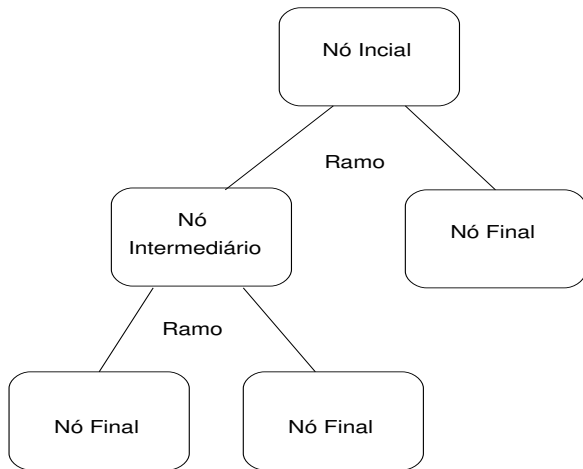
CART -Classification and Regression Trees:

- Modelagem não paramétrica;
- Execução de sucessivas partições binárias de uma amostra, buscando a constituição de sub-amostras menos heterogêneas.
- Variável dependente:
 - Numérica – Árvore de Regressão
 - Categórica – Árvore de Classificação

Atrativos

- Procedimento de simples aplicação;
- Possibilidade de modelar dados com estruturas complexas:
 - Dados desbalanceados;
 - Dados faltantes;
 - Grande número de variáveis independentes.
- Detecção de interações de ordens elevadas;
- Ausência de pressuposições paramétricas;
- Produção de resultados facilmente interpretáveis.

Representação



Construção do Modelo

- Partição dos nós;
 - Minimizar a heterogeneidade dos nós produzidos;
 - Baseada em uma medida de impureza.
- Poda;
 - Obtenção de uma seqüência aninhada de árvores.
- Seleção do modelo;
 - Baseada em alguma medida de qualidade preditiva.
- Caracterização dos nós finais.
 - Segundo a distribuição dos resultados em cada nó.

- Dados: Gonçalves (1997)
- CART - Extensão multivariada: Taconeli (2008).

ESALQ-USP

Metodologia

- Integração das metodologias:
 - Modelagem dos dados composicionais por meio de árvores de regressão considerando a distância de Aitchison como medida de impureza e de qualidade preditiva na construção dos modelos.
- Seja $d(\underline{Y}_k, \underline{Y}_{k'})$ a distância de Aitchison calculada para duas composições k e k' .
- **Medida de impureza** de um nó $t(\phi_{Dis}(t))$:

$$\phi_{Dis}(t) = \left(\frac{n_t(n_t - 1)}{2} \right)^{-1} \sum_{k=1}^{n_t} \sum_{k < k'} d(\underline{Y}_k, \underline{Y}_{k'})$$

sendo n_t o número de composições em t .

- **Medida de qualidade de predição:**

$$\phi_{Dis}(\underline{Y}^*) = \sum_{k \subset t} \frac{d(\underline{Y}^*, \underline{Y}_k)}{n_t}.$$

- **Análise Fatorial:** estimação das cargas fatoriais e escores por componentes principais - mínimos quadrados ordinários com rotação varimax.
- Estimativas dos escores fatoriais considerados **covariáveis** no modelo de regressão por árvores.

Resultados

Cargas fatoriais

Variável	F1	F2	F3	Comunalidade
Ph-CaCl ₂	0,876			0,85
Matéria orgânica		-0,848		0,77
Fósforo		-0,711		0,61
Potássio		-0,531		0,36
Cálcio	0,806			0,82
Magnésio	0,783			0,83
Hidrogênio+Alumínio	-0,873			0,79
Densidade global			0,765	0,75
Densidade da partícula			-0,807	0,68
Porosidade total			-0,965	0,98
Altura do terreno		-0,681		0,70
Var. Acum	0,29	0,52	0,74	

Resultados

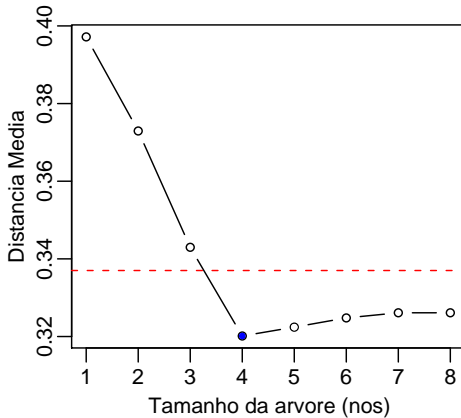


Figura: Curva de custo-complexidade.

Resultados

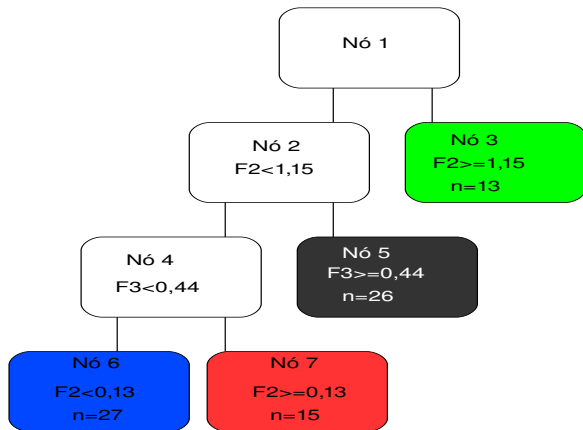


Figura: Árvore de regressão.

Resultados

- Fatores considerados na construção da árvore: 2 e 3;
- Associação das variáveis matéria orgânica, fósforo, potássio, altura do terreno (Fator 2), densidade global, densidade da partícula e porosidade total (Fator 3) com a composição do solo;
- Variáveis do Fator 1: Ph-CaCl₂, cálcio, magnésio, hidrogênio+alumínio não estão associadas à composição do solo.

Resultados

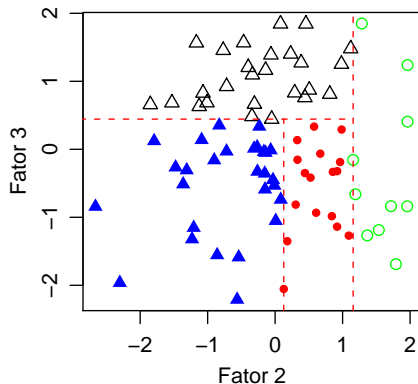


Figura: Gráfico de dispersão dos escores fatoriais para o segundo e terceiro fatores.

Caracterização dos nós quanto às covariáveis:

- **Pontos verdes - nó 3:** Matéria orgânica, fósforo, potássio e altura do terreno em quantidade pequena nas amostras de solo;
- **Pontos azuis - nó 6:** Elevados teores de matéria orgânica, fósforo, potássio, elevada altura do terreno em detrimento a baixa densidade global e altas densidade de partícula e porosidade total;

Caracterização dos nós quanto às covariáveis:

- **Pontos vermelhos - nó 7:** Baixas quantidades de matéria orgânica fósforo, potássio e baixa altura do terreno em relação à altas densidade de partículas e porosidade total mas elevada densidade global;
- **Pontos pretos - nó 5:** Alta densidade global em detrimento à baixas densidade de partícula e porosidade total.

Resultados

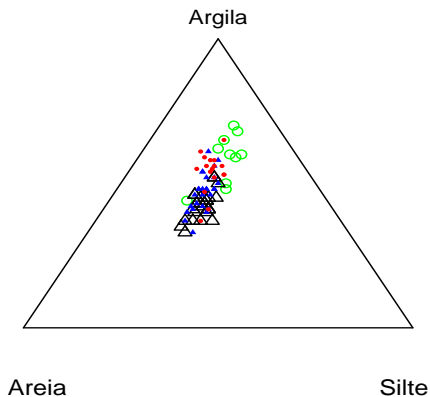


Figura: Diagrama ternário das porcentagens de areia, silte e argila.

Resultados

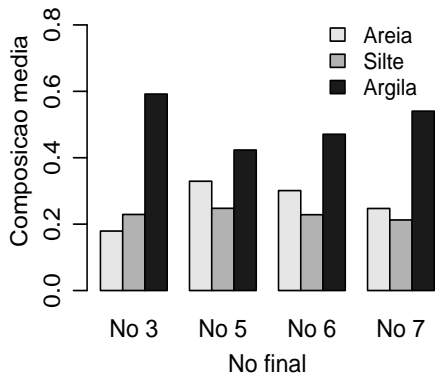


Figura: Distribuição da composição média segundo os nós.

Caracterização dos nós finais quanto à composição:

- Nó 3, pontos verdes, representam composições com maiores teores de argila e mais silte do que areia dentre todos os nós;
- Nó 5, pontos pretos, representam composições com maior equilíbrio entre os componentes. Nó com composições menos argilosas em relação aos outros;
- Nó 6, pontos azuis, não se destaca, exceto por grande quantidade de argila. Seria uma composição intermediária;
- Nó 7, pontos vermelhos, com exceção do nó 3 é composto por composições mais argilosas.

Resultados

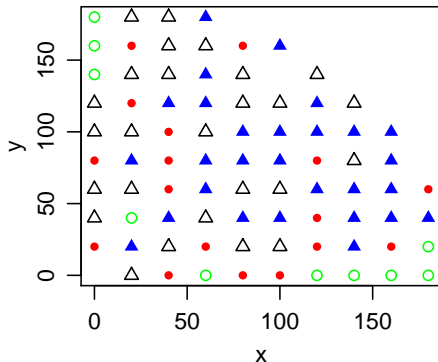


Figura: Localização espacial dos pontos amostrais em que os símbolos representam os grupos de frações granulométricas identificados pela análise

Conclusão

Resultados produzidos permitiram identificar propriedades do solo associadas às composições, estabelecendo hierarquia entre as variáveis físico-químicas na explicação das frações granulométricas.

Bibliografia

- AITCHISON, J. The statistical analysis of compositional data. **Journal of the Royal Statistical Society, Series B**, v. 44, n.2, p. 139-177, 1982.
- AITCHISON, J. **The statistical analysis of compositional data**. New Jersey: The Blackburn Press, 1986.
- BREIMAN, L.; FRIEDMAN, J. H.; OLSHEN, R. A.; STONE, C. J. **Classification and regression trees**. California: Wadsworth International Group, 1984. 358p.
- BUTLER, A.; GLASBEY, C. A latent Gaussian model for compositional data with zeros. **Journal of the Royal Statistical Society, Series C**, v.57, n.5, p.505-520, 2008.
- DE'ATH, G. Multivariate Regression Trees: A New Technique for Modeling Species-Environment Relationships. **Ecology**, Brooklin, v.83, n.4, p.1105-1117, 2002.

Bibliografia

- GONÇALVES, A. C. A. **Variabilidade espacial de propriedades físicas do solo para fins de manejo da irrigação**. 1997. 119p. Tese (Doutorado em Agronomia) - Escola Superior de Agricultura "Luiz de Queiroz". Universidade de São Paulo, Piracicaba.
- GRAF, M. Precision of compositional data in a stratified two-Stage cluster sample: comparison of the swiss earnings structure survey 2002 and 2004. **Survey Research Methods Section, ASA** , Session 415: Sample Survey Quality V, p.3066–3072, 2006. Disponível em: <<http://www.amstat.org/sections/SRMS/proceedings/y2006/Files/JSM2006-000771.pdf>>. Acesso em: 18/05/08.
- JOHNSON, R. A.; WICHERN, D. W. **Applied statistical analysis**. Fourth. USA: Prentice Hall, 1998.
- LEE, S. K. On generalized multivariate decision tree by using GEE. **Computational Statistics & Data Analysis**, Amsterdam, v.49, n.4, p.1105–1119, 2005.

Bibliografia

- OBAGE, S. C. **Uma análise bayesiana para dados composicionais**. 2007. 69p. Dissertação (Mestrado em Estatística) - Universidade Federal de São Carlos, São Carlos.
- PAWLOWSKY-GLAHN, V.; OLEA, R. A. **Geostatistical analysis of compositional data**. New York: Oxford University Press, Inc., 2004.
- R DEVELOPMENT CORE TEAM. **R: A language and environment for statistical computing**. Vienna, Austria, 2008. Disponível em: <http://www.R-project.org>. Acesso em: 28 nov. 2008.
- SEGAL, M. R. Tree-structured methods for longitudinal data. **Journal of the American Statistical Association**, Boston, v.87, p.407–418, 1992.

Bibliografia

- TACONELI, C. A. **Árvores de classificação multivariadas fundamentadas em coeficientes de dissimilaridade e entropia**. 2008. 99p. Tese (Doutorado em Estatística e Experimentação Agronômica) – Escola Superior de Agricultura “Luiz de Queiroz”, Universidade de São Paulo, Piracicaba.
- TJELMELAND, H.; LUND, K. V. Bayesian modelling of spatial compositional data. **Journal of Applied Statistics**, v.30, n.1, p.87–100, 2003.
- ZHANG, H. P. Classification trees for multiple binary responses, **Journal of the American Statistical Association**, Boston, v.93, p.180–193, 1998.
- WALVOORT, D. J. J.; GRUIJTER, J. J. Compositional kriging: A spatial interpolation method for compositional data. **Mathematical Geology**, v.33, n.8, p. 951-966, nov 2001.

OBRIGADA PELA ATENÇÃO!

Agradecimentos

- UEM/DES - Universidade Estadual de Maringá/Departamento de Estatística
- PPGMNE - Programa de Pós-Graduação em Métodos Numéricos em Engenharia
- LEG - Laboratório de Estatística e Geoinformação
- CNPQ - Conselho Nacional de Desenvolvimento Científico e Tecnológico